



Zone du naufrage de la Cordelière: morphologie, sédimentologie et dynamique

Axel EHRHOLD

Ifremer/GM/LGS

MOQESM'2018 – Le Quartz - Brest Rechercher, trouver et explorer des épaves sousmarines à l'aide de robots



N.B:

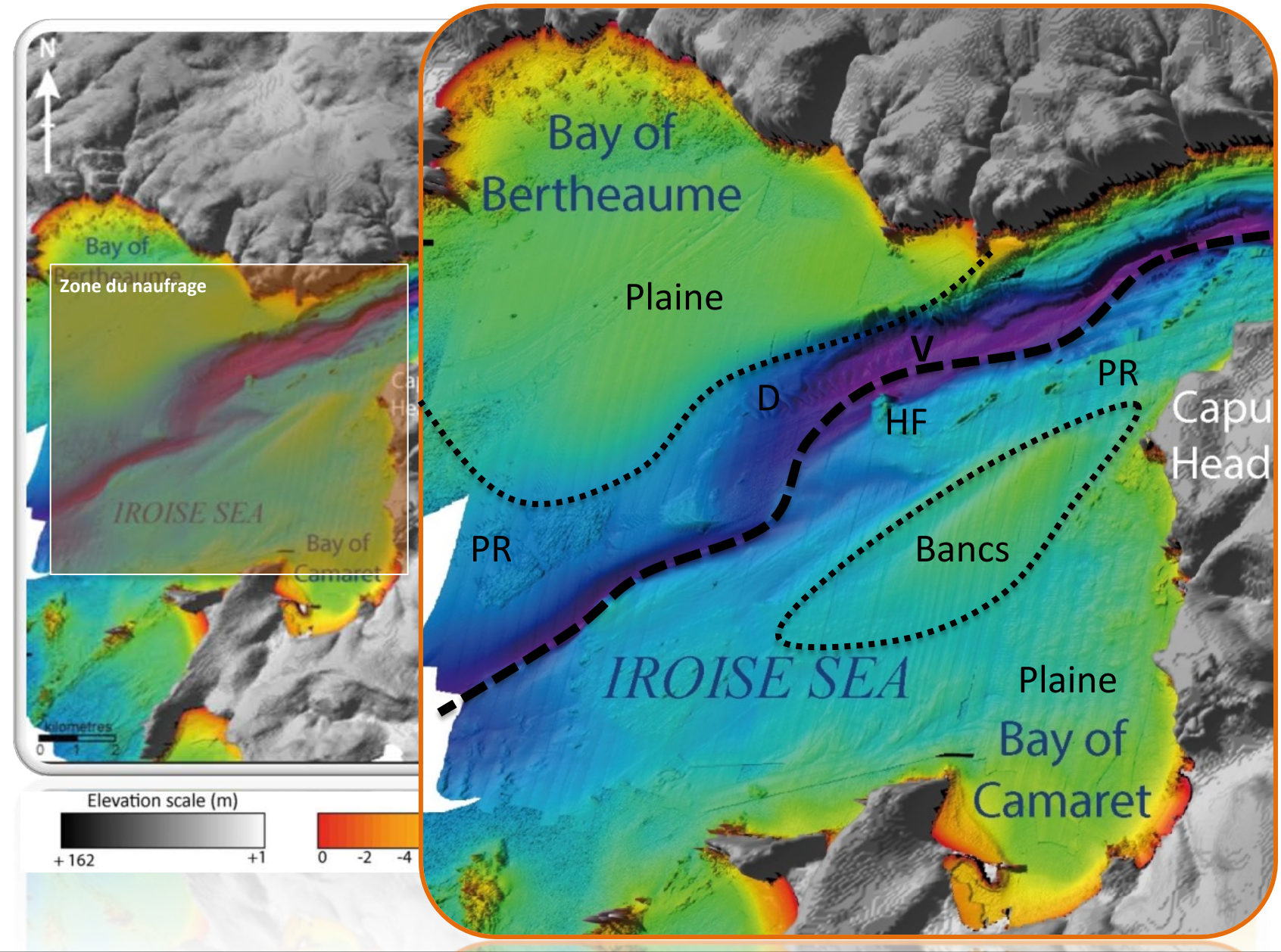
Les résultats historiques présentées ci-après sont extraits des références suivantes :

- Gregoire Gwendoline, Le Roy Pascal, Ehrhold Axel, Jouet Gwenael, Garlan Thierry (2017). Control factors of Holocene sedimentary infilling in a semi-closed tidal estuarine-like system: the bay of Brest (France). Marine Geology, 385, 84-100. Publisher's official version: https://doi.org/10.1016/j.margeo.2016.11.005, Open Access version: https://archimer.ifremer.fr/doc/00358/46968/
- Gregoire Gwendoline, Ehrhold Axel, Le Roy Pascal, Jouet Gwenael, Garlan Thierry (2016). Modern morpho-sedimentological patterns in a tide-dominated estuary system: the Bay of Brest (west Britanny, France). Journal Of Maps, 12(5), 1152-1159.

Publisher's official version: https://doi.org/10.1080/17445647.2016.1139514
Open Access version: https://archimer.ifremer.fr/doc/00334/44492/

■ Gregoire Gwendoline, (2016). Dynamique sédimentaire et évolution holocène d'un système macrotidal semi-fermé : l'exemple de la rade de Brest. Thèse de 3ème cycle. Université de Brest, 288 p. https://tel.archives-ouvertes.fr/tel-01556393

Morphologie sous-marine actuelle

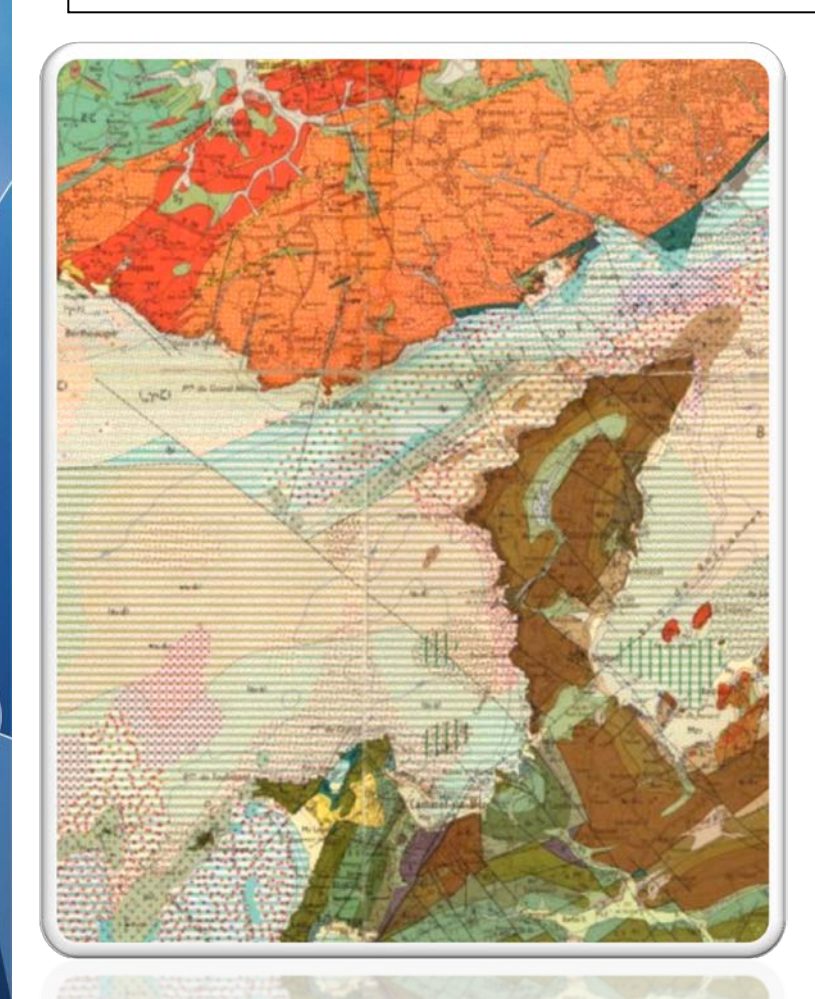




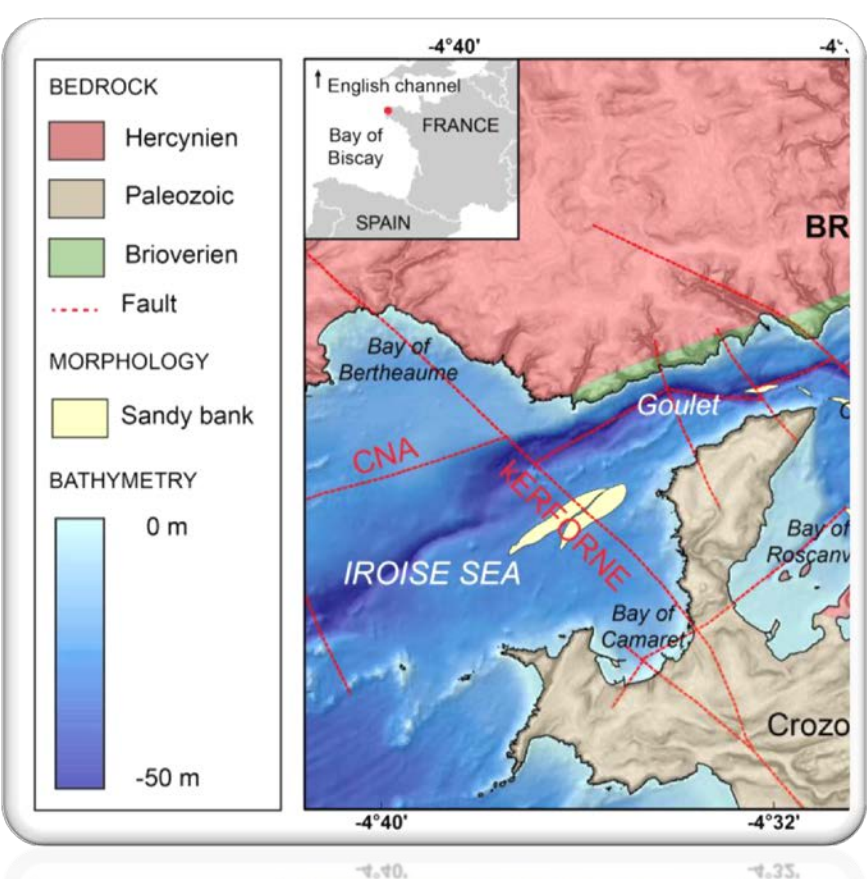


Contexte géologique - Travaux historiques

Morphologie sous-marine héritée de la nature des roches qui composent le sous-sol et sculptée par les cycles glacio-eustatiques récents (III et IV)



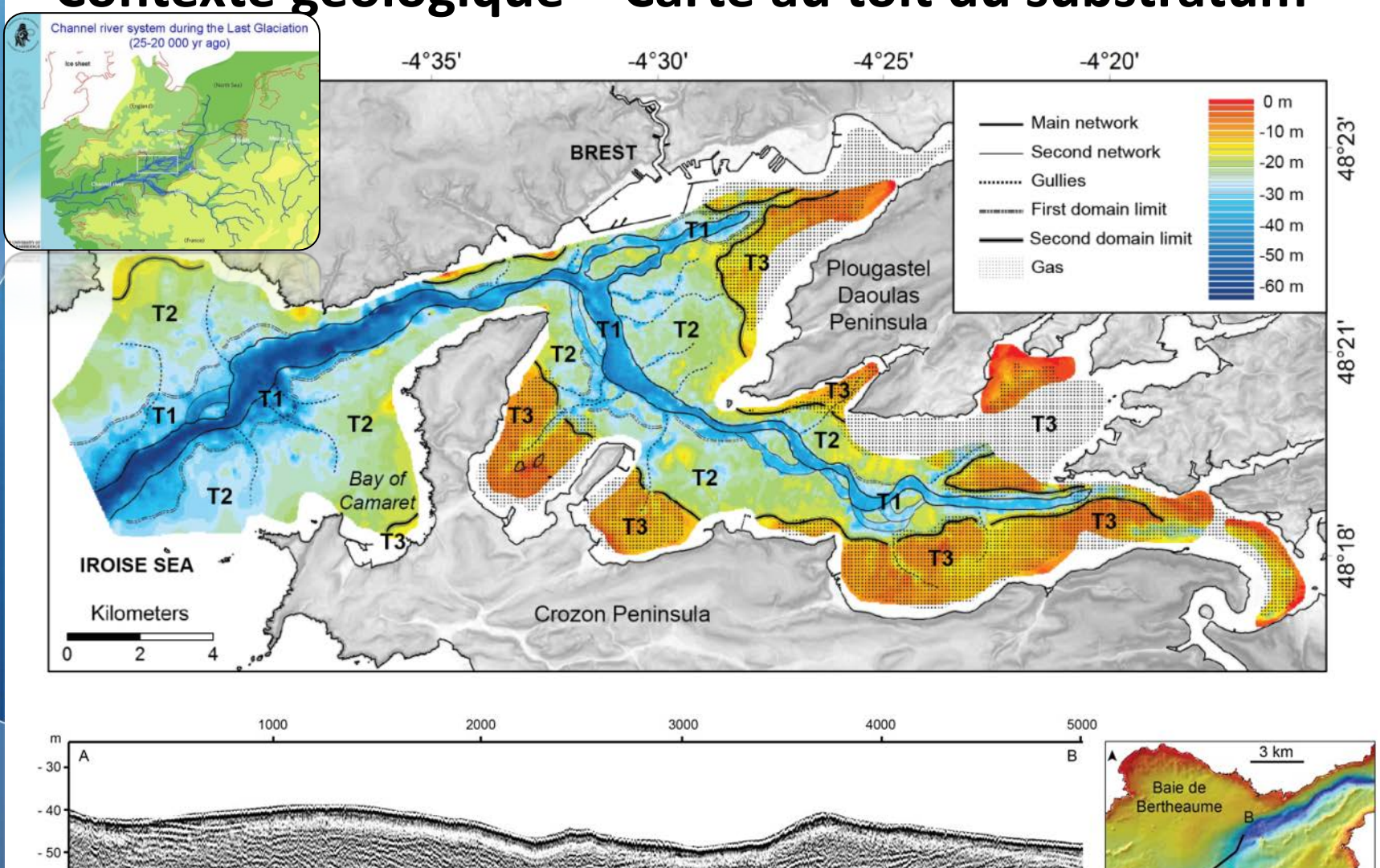
Carte géologique de la France a 1/50 000 BREST (Hinschberger, Hallégouët, 1980)



- 1 Domaine du Léon : socle cristallin et métamorphique (orogénèse Varisque)
- 2 Terrains sédimentaires paléozoïques
- 3 Couloir des schistes briovériens
- 4 Zone de failles importantes

Ifremer

Contexte géologique – Carte au toit du substratum

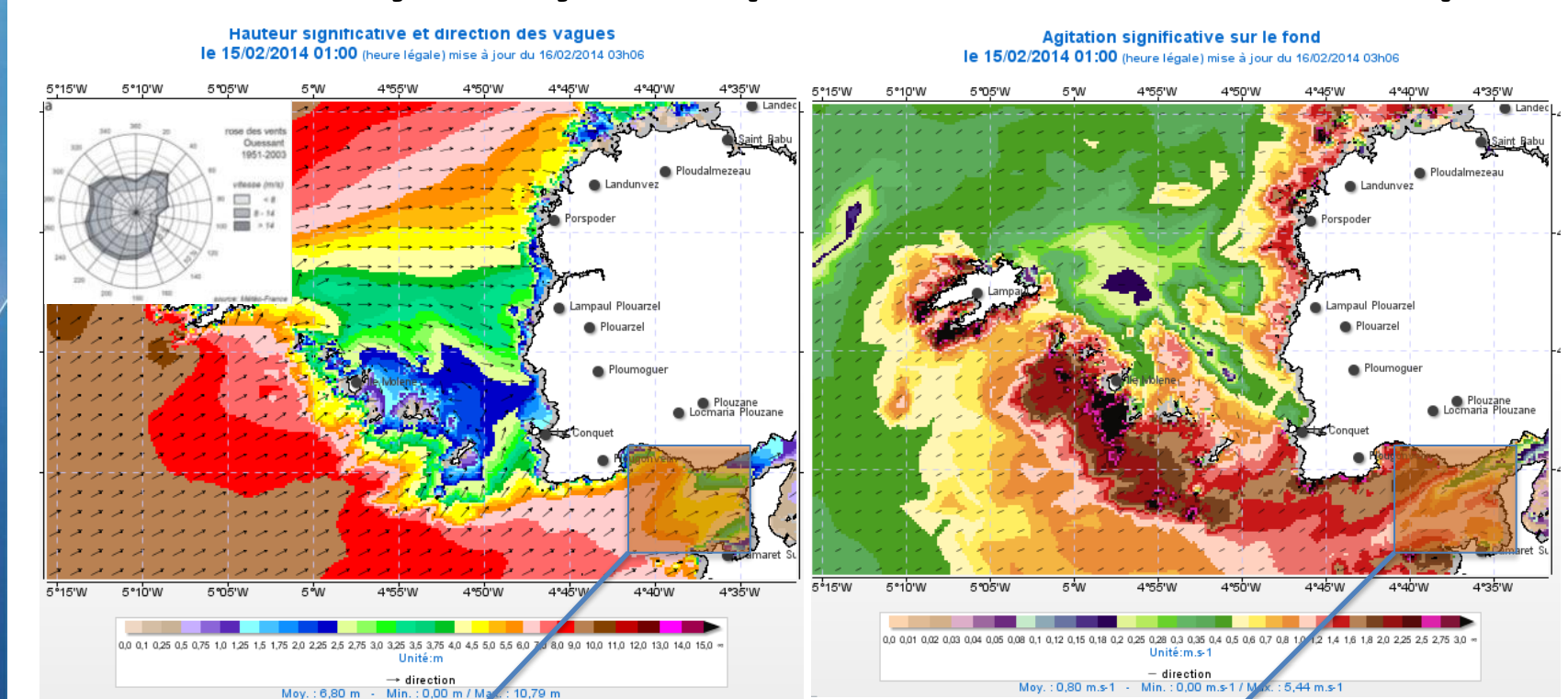


Coupe sismique sparker

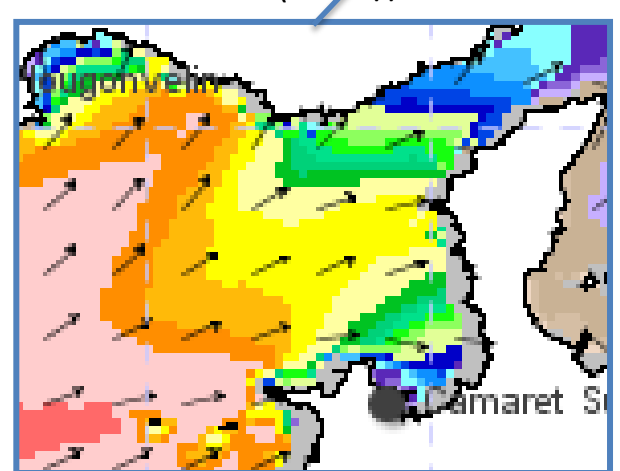
Baie de Camaret

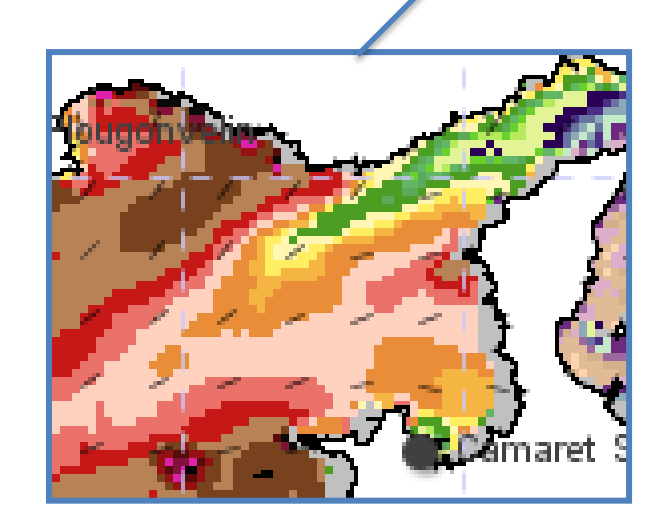


Conditions hydrodynamiques – Les houles de tempêtes



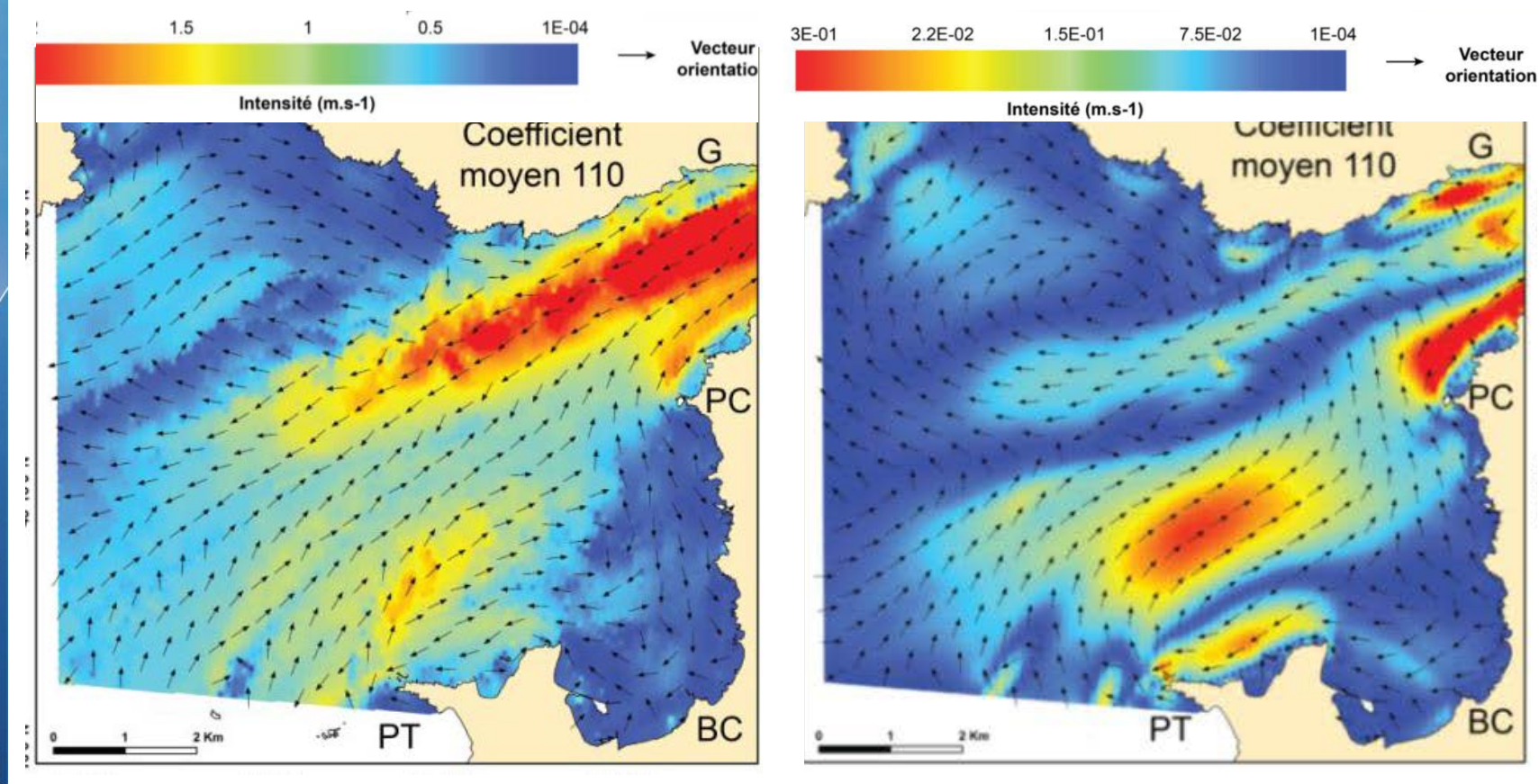
Sorties du modèle MARC (https://marc.ifremer.fr/)





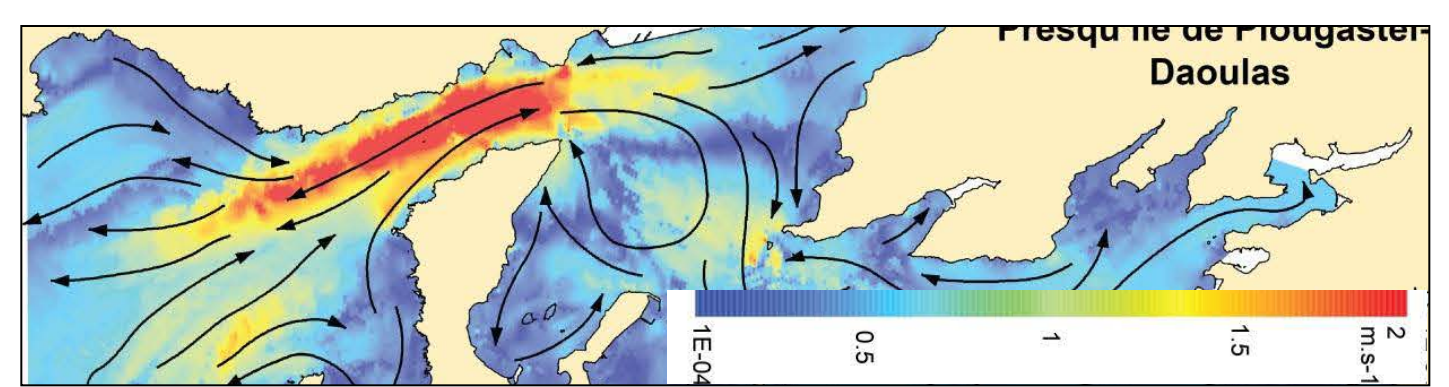


Conditions hydrodynamiques – Courants tidaux



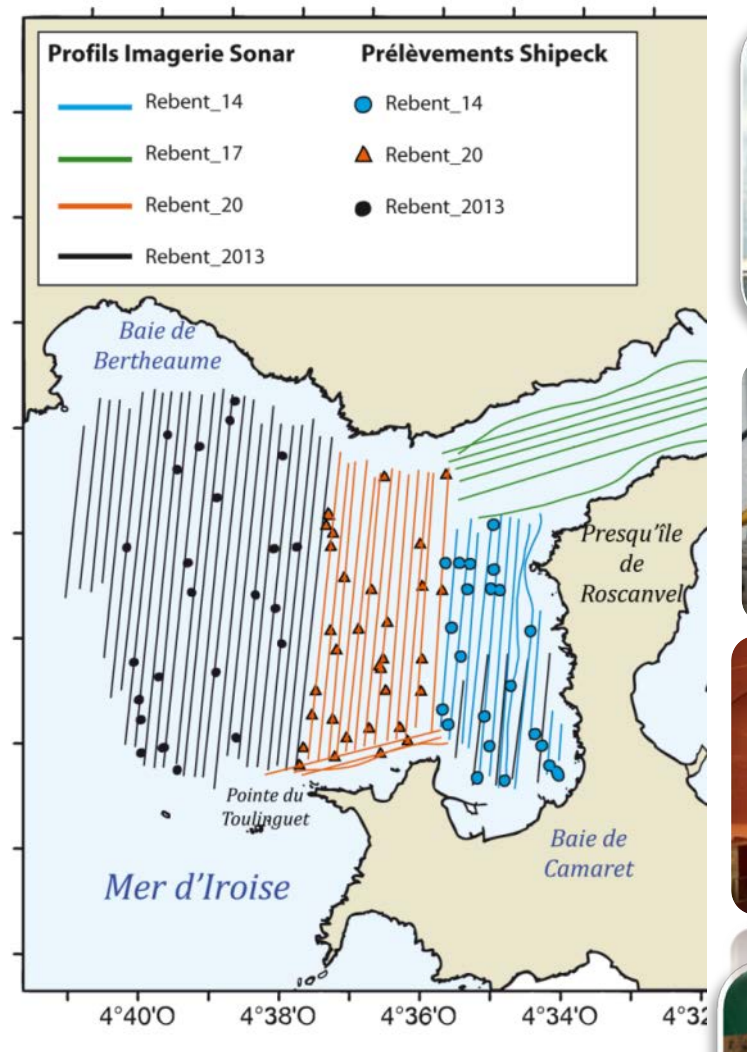
Champs des flux maximums simulés à 1 m sur le fond

Champs des flux résiduels simulés à 1 m au dessus du fond





Données IFREMER historiques : imagerie/bathy/obs





N/O Thalia (25m)



Sonar tracté Klein system







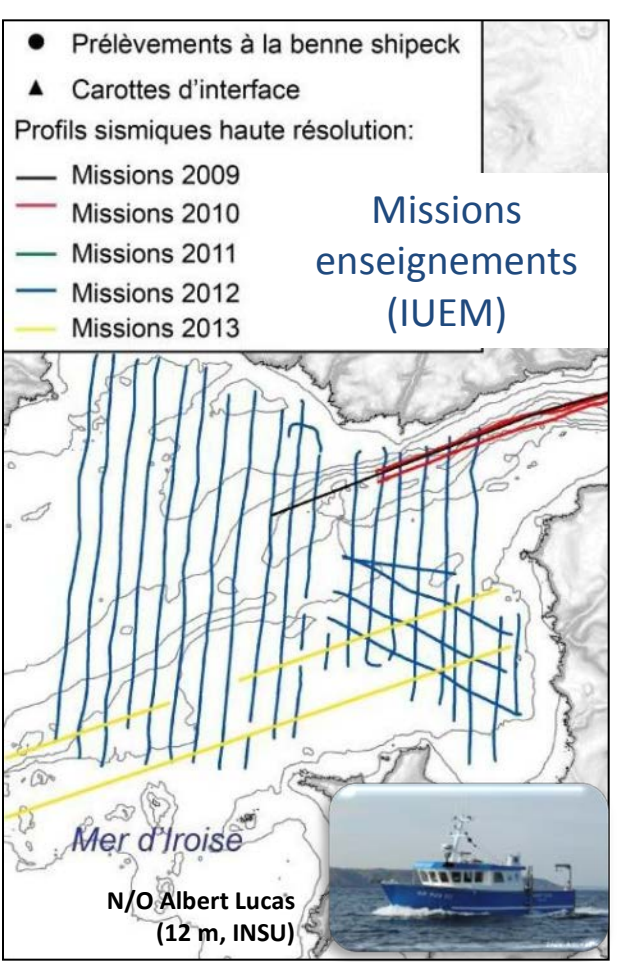


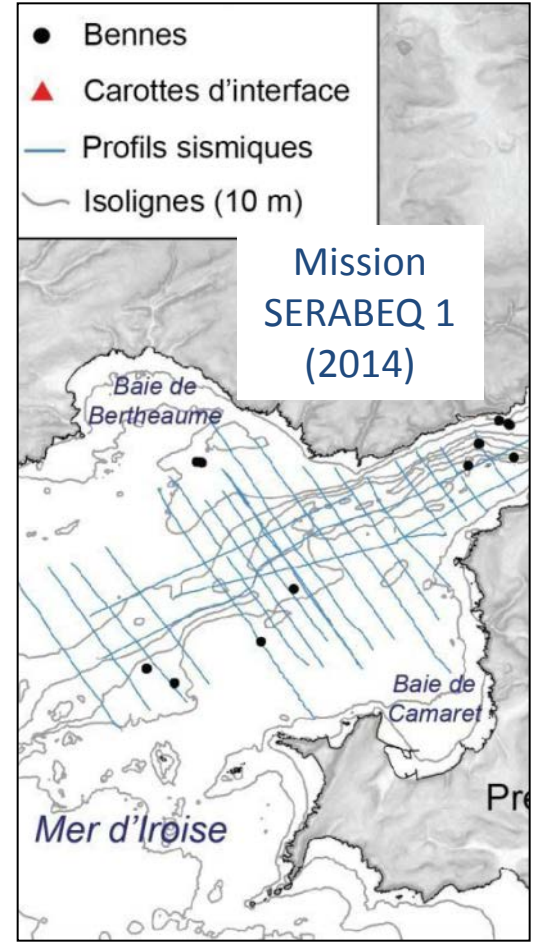
Système Vidéo HD

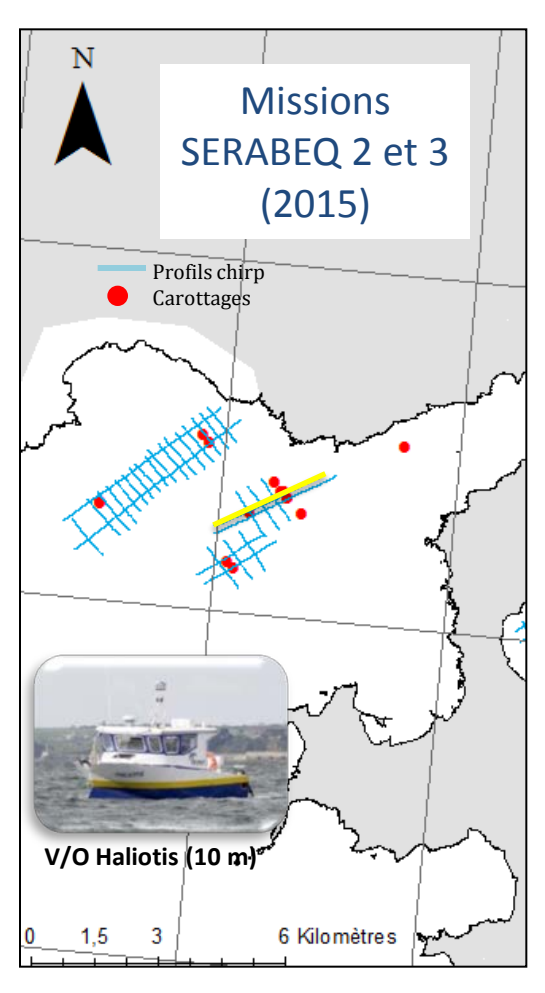
Benne de prélèvement Shipek

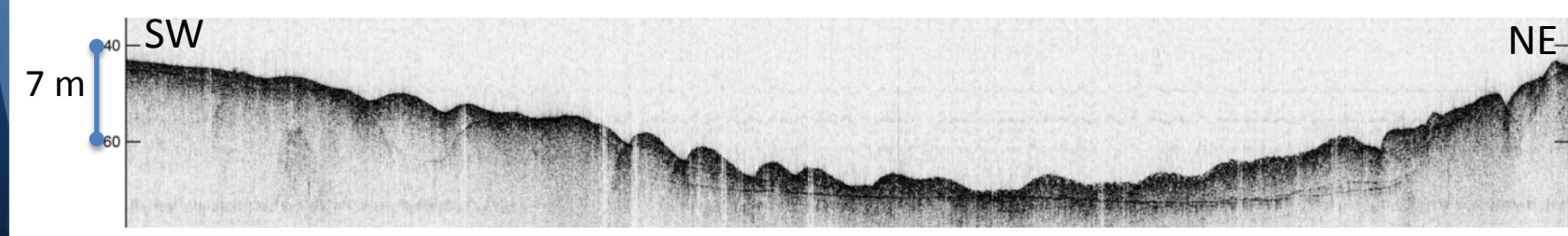
Ifremer

Données IFREMER et IUEM historiques : sismiques



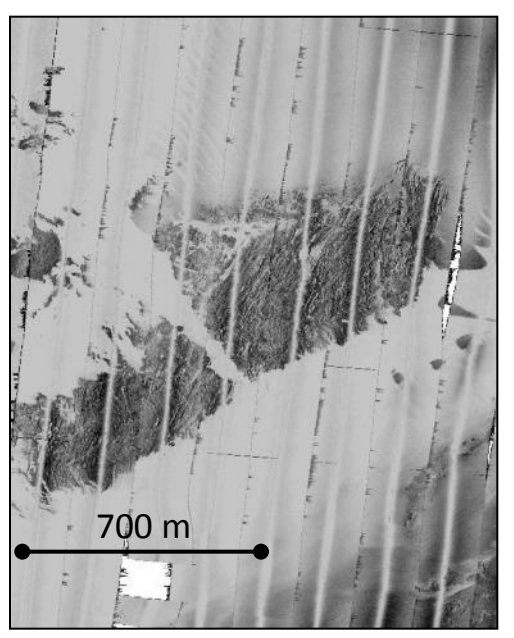




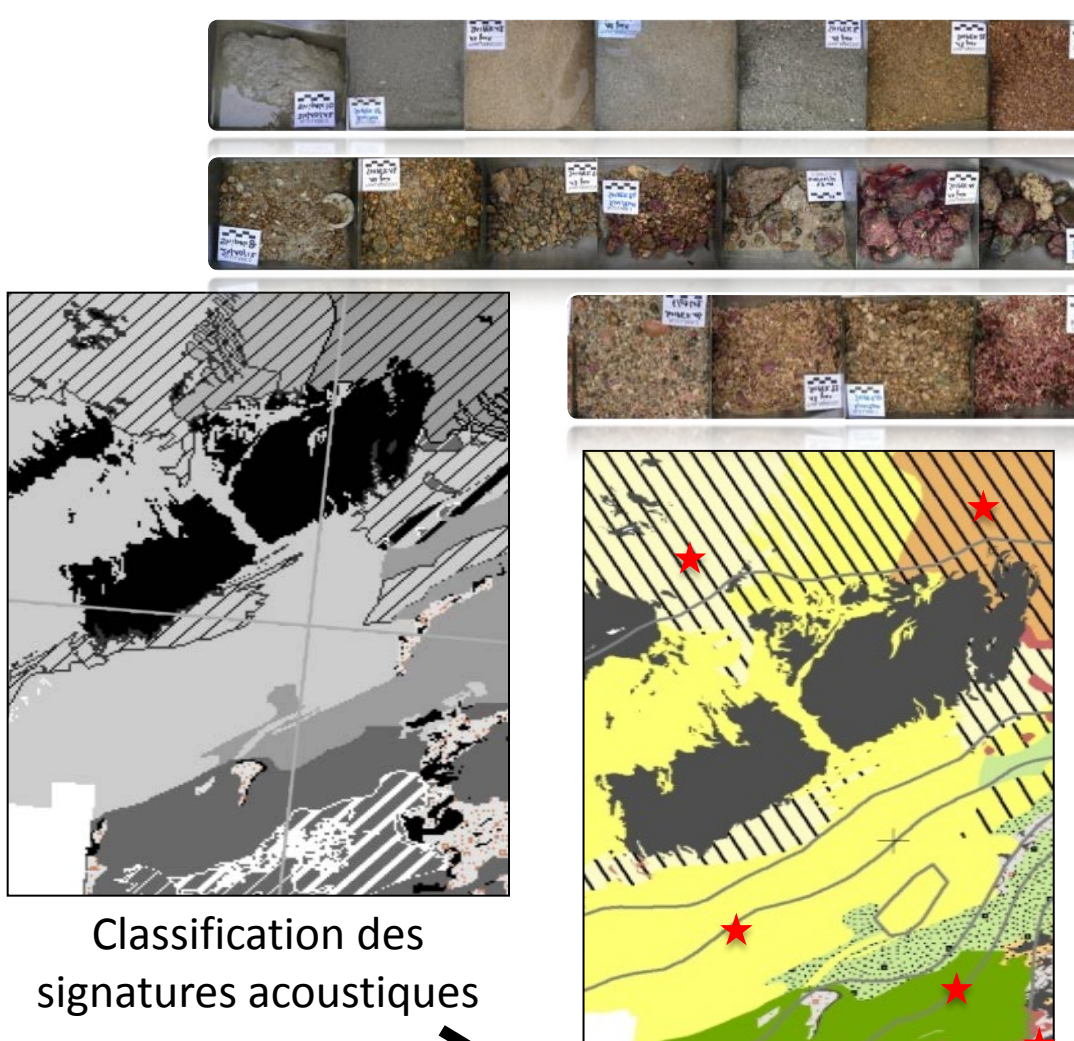




Interprétation géologique des données d'imagerie



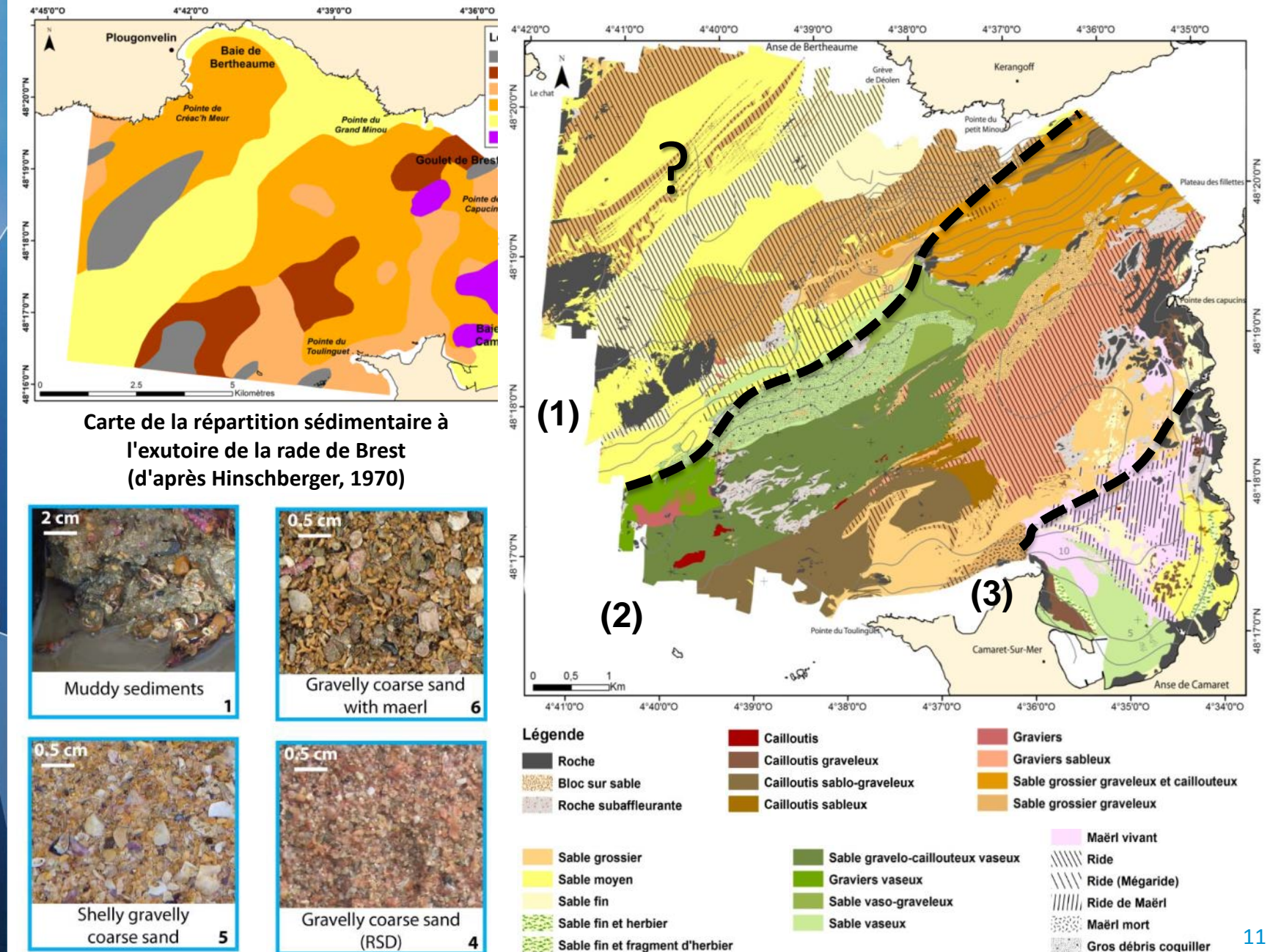
Mosaïque sonar BF (100 kHz) ►





Carte sédimentologique

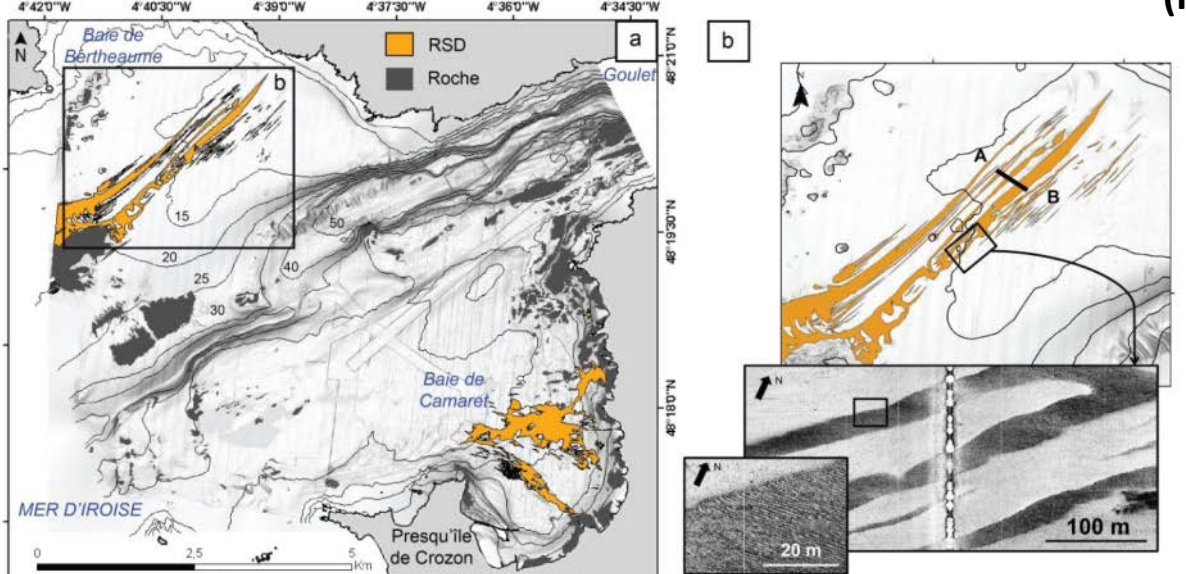
Contexte morpho-sédimentaire



1fremer

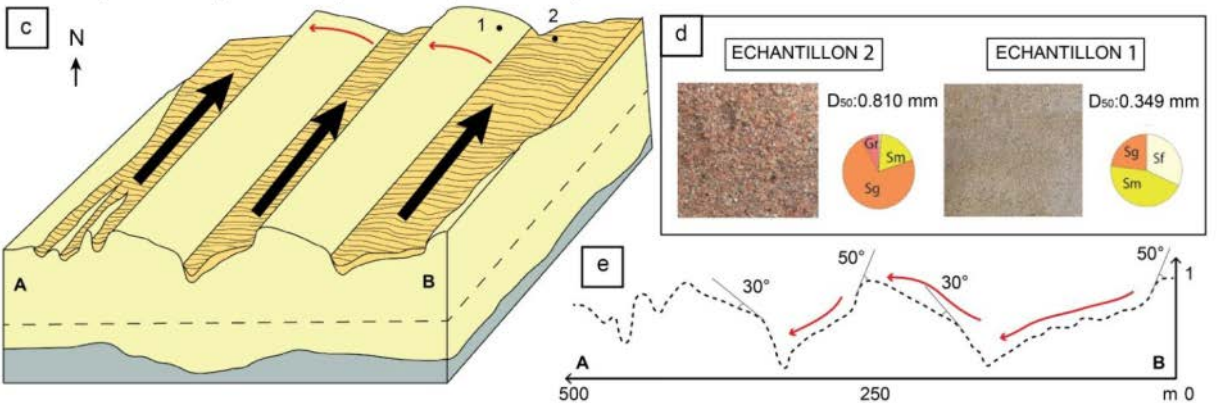
Contexte morpho-sédimentaire : Figures érosives RSD





Géométrie des sillons :

- Asymétrique
- Variation de pente
- Mégarides de houle



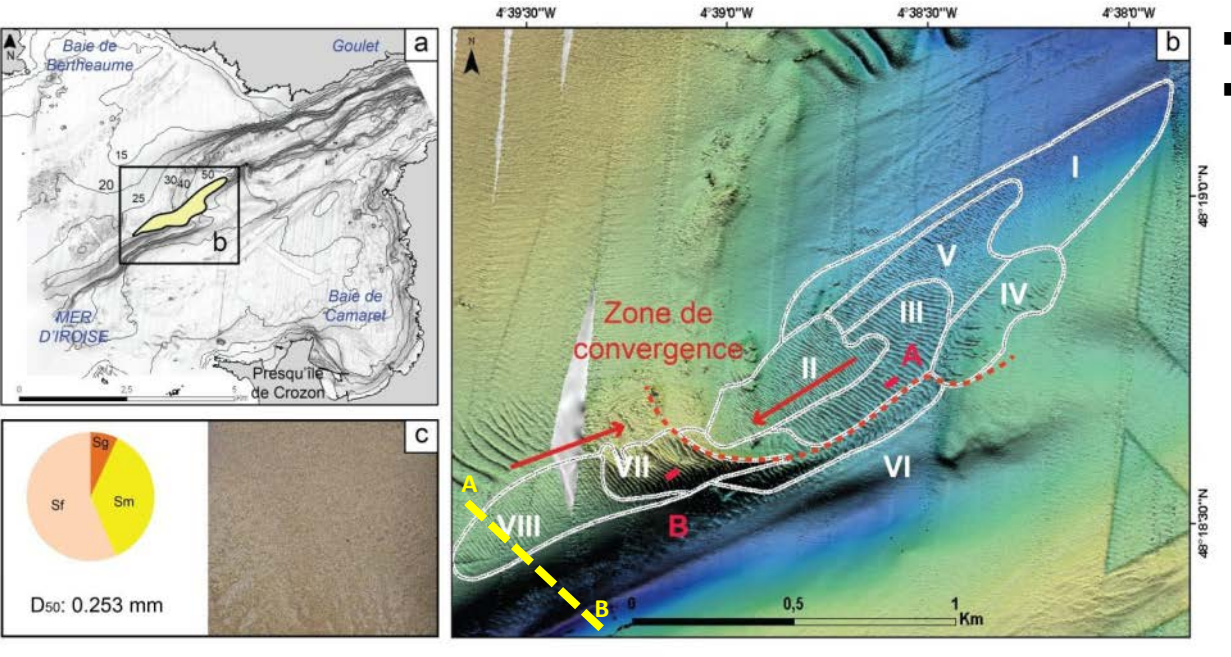
<u>Sable grossier</u> : tapisse le fond des sillons

<u>Sable moyen</u>: forme la plaine sableuse

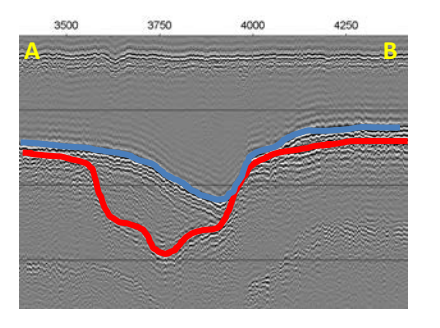
Construction complexe : (1) plateau rocheux (2) réactivation pendant les tempêtes morphogènes hivernales et (3) morphologie résiduelle lissée par la dynamique tidale

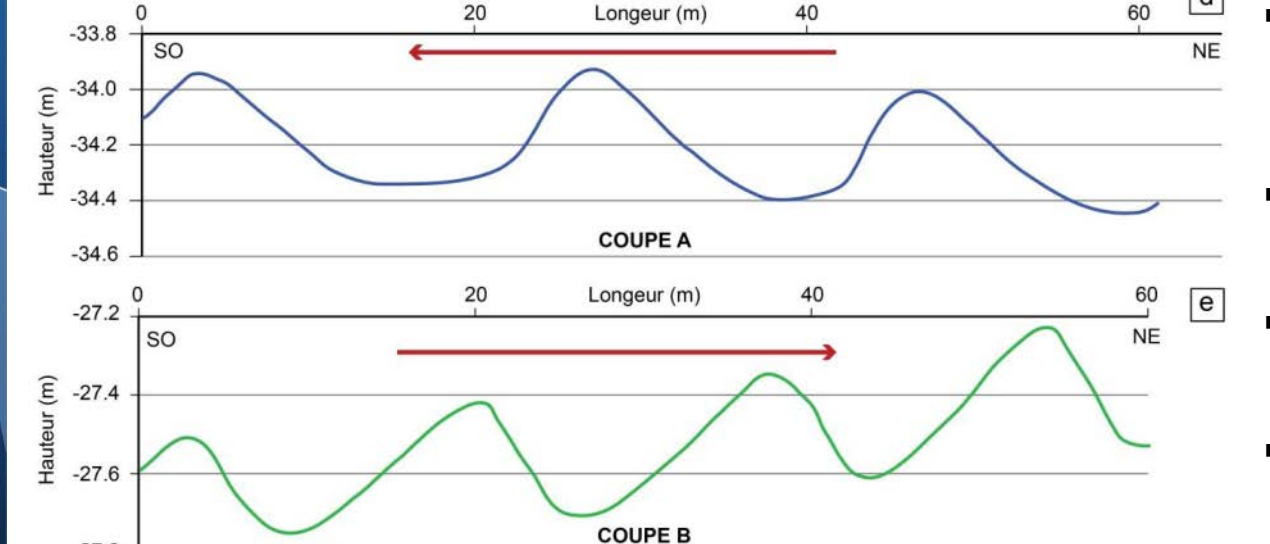


Contexte morpho-sédimentaire : Dunes hydrauliques



- Champ de mégarides
- (H: 50 cm) qui modèlent la morphologie de structures sableuses plus épaisses





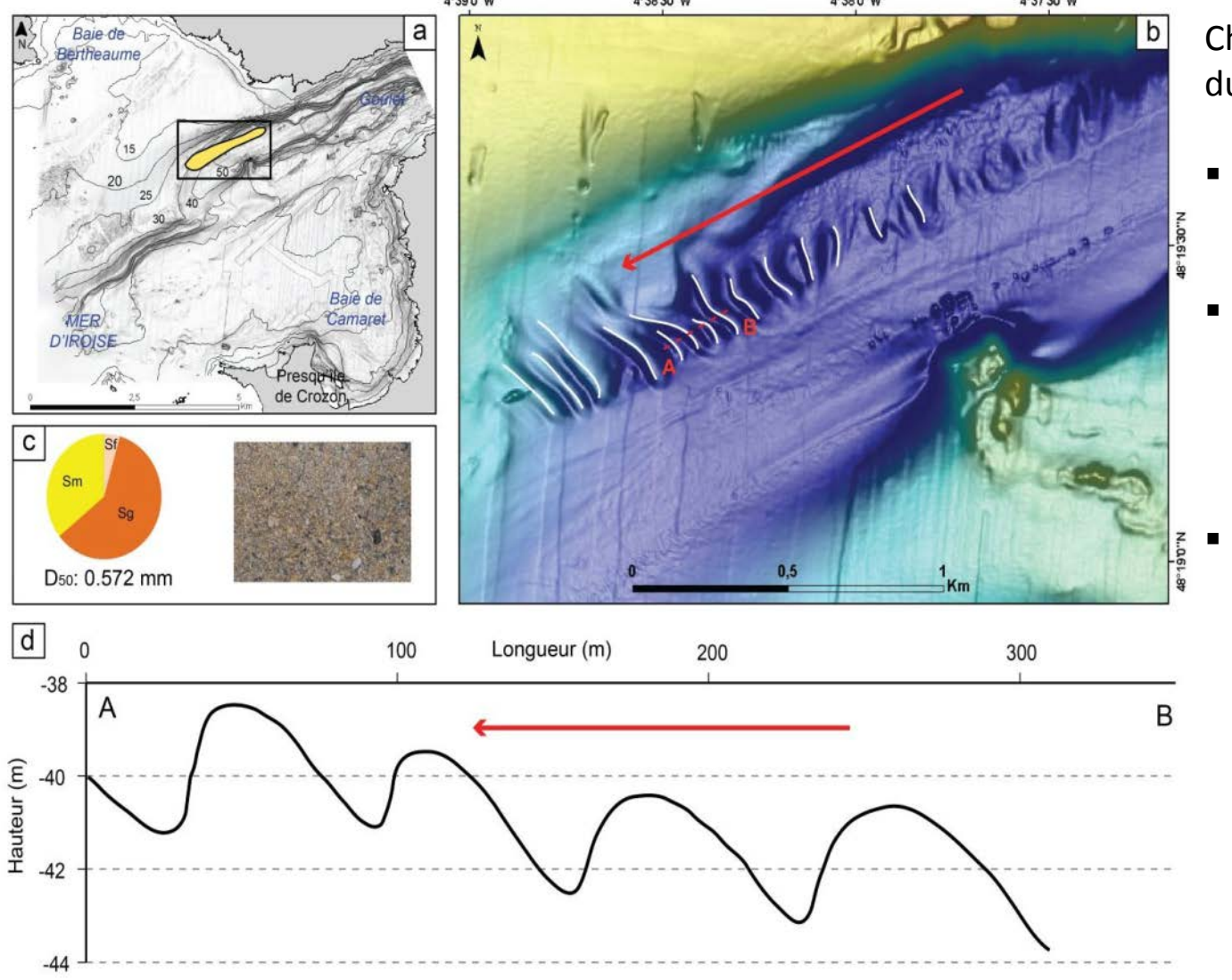
- Ancrage de part et d'autres d'un haut fond rocheux
- Variations de hauteurs et de longueurs d'onde
- Sable homogène moyen a grossier coquillier
- Zone de convergence des apports dans la vallée

09/10/2018

-27.8



Contexte morpho-sédimentaire : Dunes hydrauliques



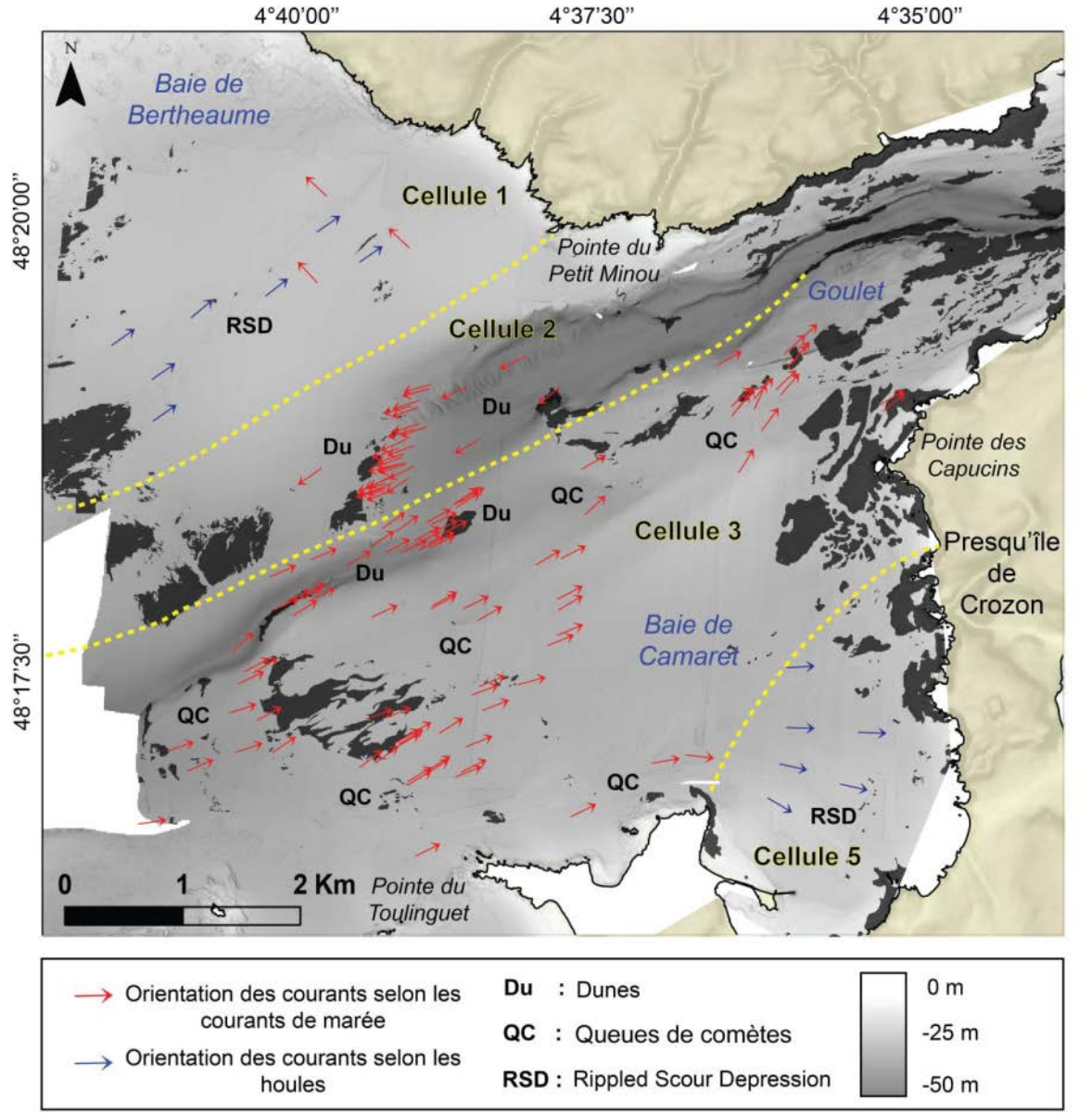
Champs de grandes dunes :

- Longueur de 2,3 km et une largeur de 340 m
- Hauteur compris entre 0,75 et 5 m et une longueur d'onde de 10 à 100 m.
- Sable grossier bioclastique

D'après Knaapen (2005) et Xu et al. (2008), l'indice d'asymétrie permet de prédire le taux de migration des dunes. Ainsi, pour un indice de 0,4, les taux moyens de migration seraient compris entre 4 et 7 m/an !



Contexte morpho-sédimentaire : Marqueurs du transport sédimentaire sur le long terme



Zone Nord sous
 l'influence des
 courants de Jusant

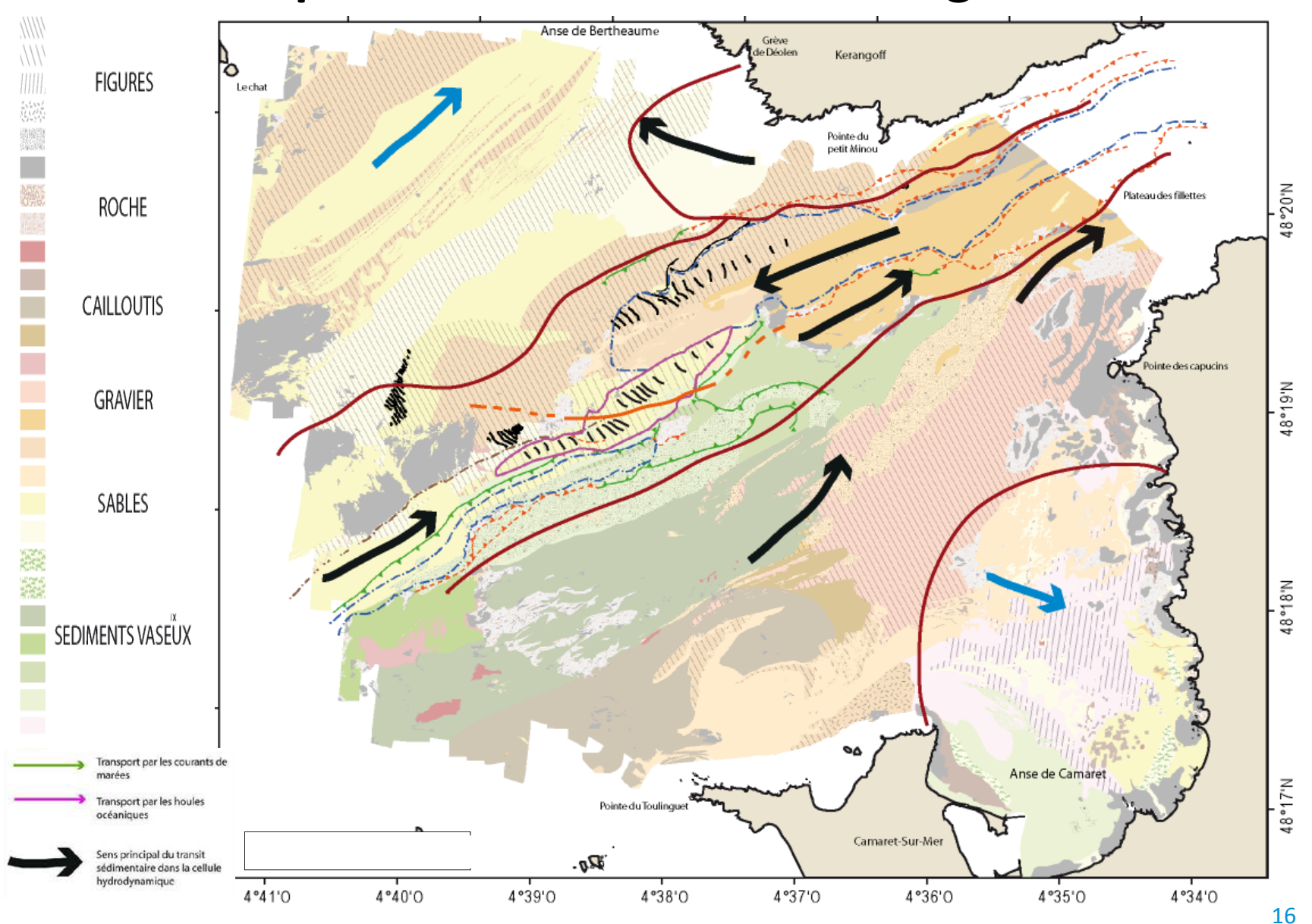
Vallée nord et Pointe du Petit Minou

 Zone sud sous influence des courants de Flot

Vallée sud et Pointe des Capucins

 Plaines sableuses structurées par les houles de tempêtes (baies de Berthaume et Camaret)

Contexte morpho-sédimentaire: Marqueurs du transport sédimentaire sur le long terme

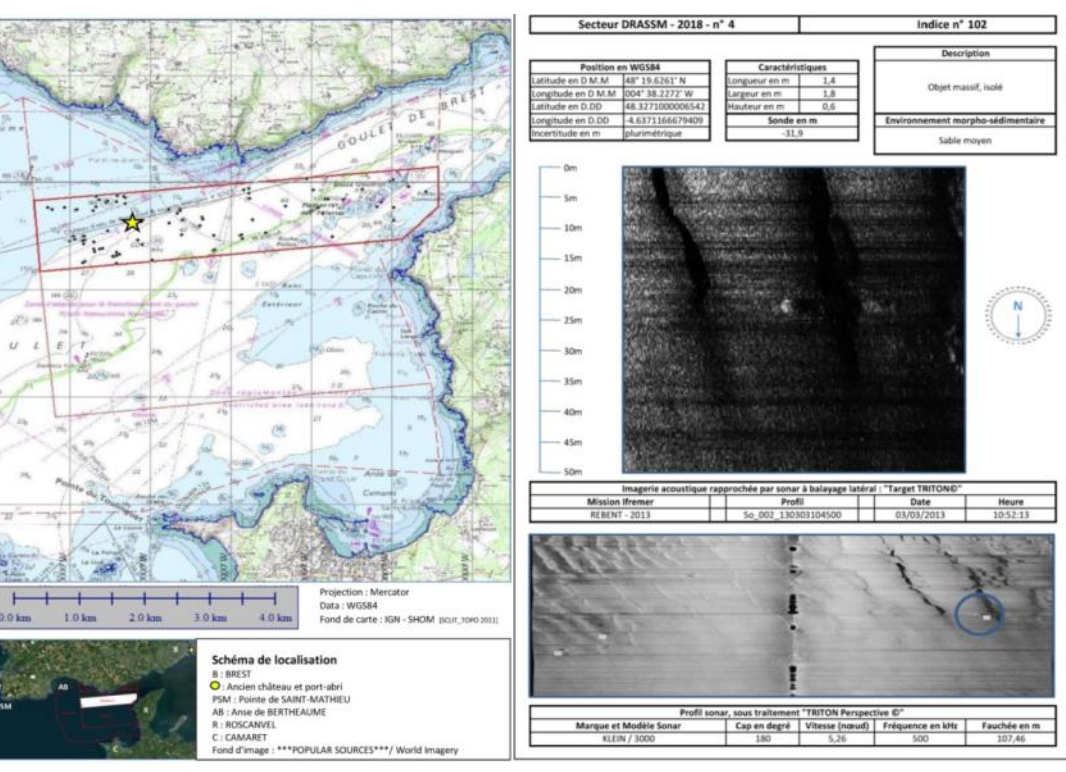




Travaux de l'IFREMER dans le cadre de la recherche de l'épave de la Marie-Cordelière

- AO Neptune 2018 (Région Bretagne)
- Recherche des indices sonar de signatures artificielles sur les données de 2007 à 2013 (Dépouillement E. Houlgatte) – production d'un catalogue géoréférencé (début 2019)





Juillet 2018 - Secteur 4

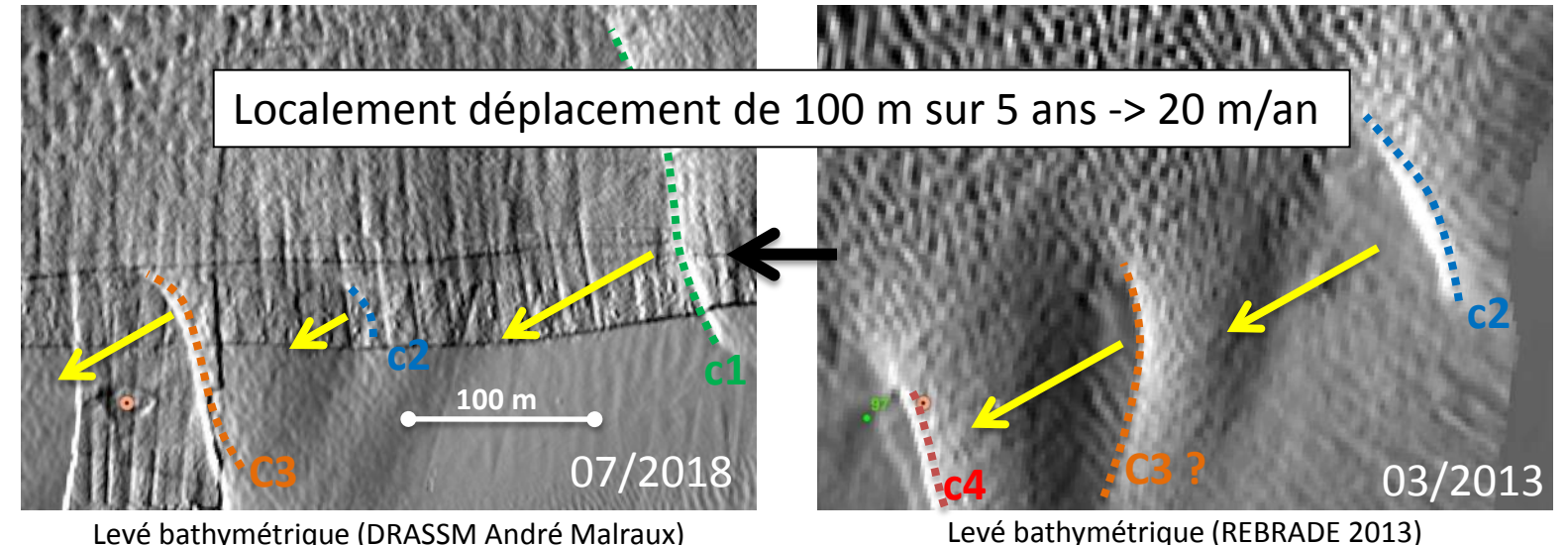
262 fiches - Secteur 4



09/10/2018

Travaux de l'IFREMER dans le cadre de la recherche de l'épave de la Marie-Cordelière

- Etude de la dynamique sédimentaire des grandes dunes sableuses à la sortie du goulet de Brest – Caractéristiques géométriques et vitesse de migration annuelle à pluriannuelle
- Stage Master D. Belleney (printemps 2019): Cinématique 03/2010; 03/2013; 07/2018; 10/2018



Levé bathymétrique (DRASSM André Malraux)

15m - 20m 25m 35m 40m





Secteur DRASSM - 2018 - n° 4 Indice n° 97 Description Objet longiligne, isolé, en bordure d'un 48° 19.4227' N champ de mégarides (Possibles restes 004° 38.0997' W d'"Epave ensablée" indiquée par le SHOM

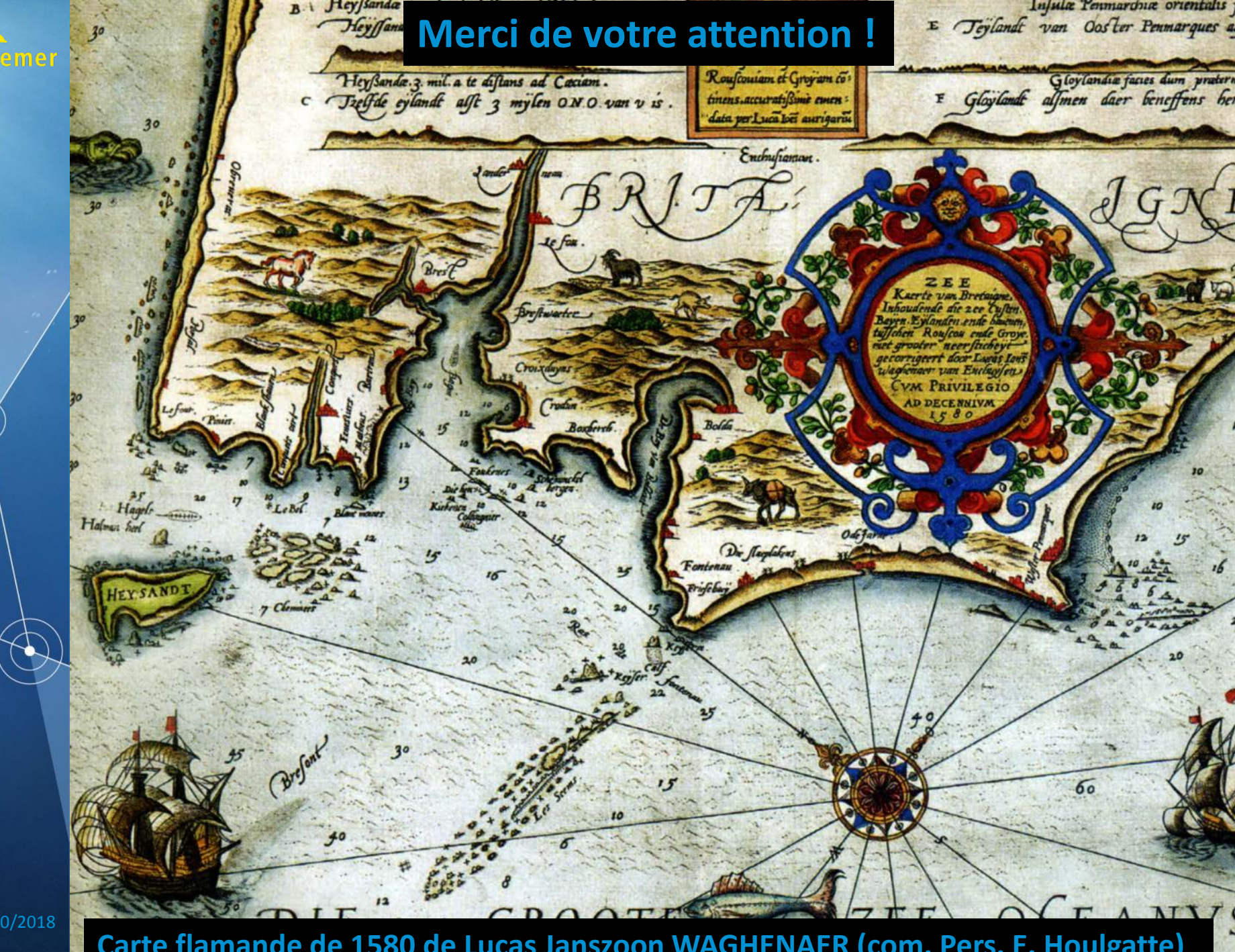
atitude en D M.M. atitude en D.DD 48.3237000006474 ongitude en D.DD

0.9 Sonde en m

Environnement morpho-sédimentaire Sable moyen

dans cette zone (!))

Tapis roulant en direction du SW



Carte flamande de 1580 de Lucas Janszoon WAGHENAER (com. Pers. E. Houlgatte)